

بِسْمِ اللّٰهِ الرَّحْمٰنِ الرَّحِيْمِ

١٤٢٣هـ - ٢٠١٤م



دانشگاه اصفهان

دانشکده علوم

گروه زیست‌شناسی

پایان نامه‌ی کارشناسی ارشد رشته‌ی زیست‌شناسی - میکروبیولوژی

شناشایی ویروس پاپیلومای انسانی در تومور گردن رحم و سرویسیت بهوسیله Nested-PCR

استاد راهنما:

دکتر مجید بوذری

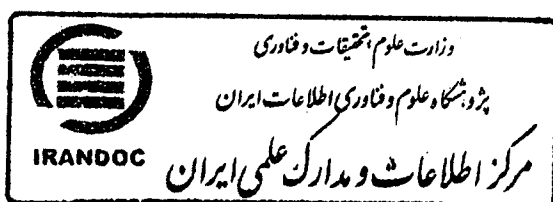
استاد مشاور

دکتر اردشیر طالبی

پژوهشگر:

الهه میرزاچی کاشانی

آبان ماه ۱۳۸۸.



۱۵۹۳۴۱

۱۳۸۸/۲/۲۲

شیوه کارشناسی
هایان نامه
بر عایت شده است
تحصیلات تکمیلی دانشگاه اصفهان



دانشگاه اصفهان

دانشکده علوم

گروه زیست‌شناسی

پایان نامه‌ی کارشناسی ارشد رشته‌ی زیست‌شناسی - میکروبیولوژی

تحت عنوان

شناشایی ویروس پاپیلومای انسانی در تومور گردن رحم و سرویسیت به وسیله

Nested-PCR

در تاریخ ۱۳۸۸/۸/۲۷ توسط هیأت داوران زیر بررسی و با درجه عالی به تصویب نهایی رسید.

امضا

۱- استاد راهنمای پایان نامه دکتر مجید بوذری با مرتبه‌ی علمی استاد یار

امضا

۲- استاد مشاور پایان نامه دکتر اردشیر طالبی با مرتبه‌ی علمی دانشیار

امضا

۳- استاد داور داخل گروه دکتر سید حمید زرکش با مرتبه‌ی علمی استاد یار

امضا

۴- استاد داور خارج از گروه دکتر محمد رضا محزونیه با مرتبه‌ی علمی دانشیار

امضای مدیر گروه



کلیه حقوق مادی مترتب بر نتایج مطالعات، ابتكارات

و نوآوری های ناشی از تحقیق موضوع این پایان نامه

متعلق به دانشگاه اصفهان است.

خدایا پیشانی بر خاک تو می گذارم چون سجده سزاوار بزرگی و عظمت توست . تو مالک جان و تن بندگانی و همه حقایق را می دانی و هر آنچه بخواهی روا می داری . ابد و ازل از توست و چراغ هر دانش و معرفتی از تو روشن است . بر من سعادت شناخت بندگی عنایت فرما چون اصل کائناتی و من ذره ای از حیات . تو در عالم غیبی و بندگانی پر از عیب ، عیوبم را بنمایان تا در رفع آنها کوشاباشم .

در این سالها هیچ تلاشی نکردم مگر به لطف و رحمت و هیچ توشهای به دست نیاوردم مگر به اراده تو و از تو می خواهم در ادامه راه یاریگرم باشی تا دینی که بر گردن دارم آنچنان که خوشایند توست ادا کنم .

شایسته است مراتب سپاسگزاری خود تقديم استاد ارجمند جناب آقای دکتر بودری که در اخلاق سرمشق بنده بودند کنم . از استاد مشاورم جناب آقای دکتر طالبی به خاطر زحماتشان تشکر می کنم و همچنین از خواهران و برادرم به خاطر همراهی و همدلیشان سپاسگزارم .

از اساتید داور داخل و خارج که زحمت داوری پایان نامه این حقیر را بر عهده گرفتند کمال تشکر را دارم .

از تمام اساتید دانشکده و تمامی هم کلاسیهایم تشکر می کنم و برایشان آرزوی سلامتی و موفقیت دارم .

در پایان از کلیه کارکنان بیمارستان الزهرا که در تهیه نمونه این حقیر را یاری رساندند سپاسگزاری می کنم .

خدایا! ایهایی به من مطا کن تا دریابو شرجه مزبوری از حسته حاده‌هام . اما هنوز تو با
میی و این تنها چیزیسته که بدان نیازمنده .

خدایو! در گناره بهان!

تقدیم به کهکشان عشق و مهر بانی

مادرم

تقدیم به صدای دلنواز ساز زندگیم

همسرم

و

تقدیم به ضریبان قلبم

دخترم

(خوب گوش کردن را خوب بیاموزیم گاه فرستتها بسیار آهسته در میزند)

چکیده:

پاپیلوما ویروس ها در همه جا هستند و واریته های وسیعی از آنها همانند انسانها در حیوانات مشخص شده اند که برای میزبان های مربوطه شان خاص هستند. بیش از ۲۰۰ نوع HPV بر پایه اطلاعات توالی DNA شان شناسایی شده اند که نشان دهنده تقاضت ژنومی است. ۸۵ ژنتوتایپ از HPV به خوبی شناسایی شده اند، بعلاوه ۱۲۰ تا از جدایه ها به عنوان ژنتوتایپ های جدید شناسایی شده اند. پاپیلوما ویروس ها می توانند سلول های پوست یا لایه های داخل بافتی را آلوده کنند که بر این اساس به انواع پوستی و مخاطی طبقه بندی می شوند. انواع پوستی، اپیدرم دوست هستند (اپیدرموتروفیک) و پوست دست ها و پاها را مورد هدف قرار می دهند. و انواع موکوسی لایه های دهان، گلو، لوله های تنفسی یا اپیتیلیوم دستگاه تناسلی را آلوده می کنند. بر اساس ارتباط شان با سرطان گردن رحم و جراحات قبل از آن HPV ها به انواع پر خطر و کم خطر نیز طبقه بندی شده اند. انواع HPV های کم خطر شامل تایپ های ۶، ۱۱، ۴۲، ۴۳ و ۴۴ هستند و انواع پر خطر شامل تایپ های ۱۶، ۱۸، ۳۱، ۳۳، ۳۴، ۳۵، ۴۵، ۴۹، ۵۱، ۵۲، ۵۶، ۵۸، ۵۹، ۶۸ و ۷۰ هستند. گروه پر خطر تعدادی از انواع HPV که کمتر بطور مکرر در سرطان پیدا می شوند و غالب در زخم های ایترالاپیتیلیال سنگفرشی دیده می شوند را در بر می گیرد. تعدادی مقالات این نوع HPV ها را با خطر متوسط معرفی می کنند. ساب تایپ های کم خطر گاه گاه در سرطان های رحم پیدا شده اند. آگاهی از ارتباط HPV با سرطان رحم خیلی زودتر آغاز شده بود. در ۱۹۸۱، زور هاومن و همکاران گزارش شناسایی HPV DNA را در نئوپلازی رحمی ارائه دادند. سرطان رحم، هنوز هم زنان سرتا سر جهان را در گیر می کند و هنوز به صورت یک کانون اصلی تحقیقات برای محققان باقی مانده است. التهاب های گردن رحم اغلب بوسیله عفونت ایجاد می شوند بیماری های انتقال یافته از طریق جنسی که می توانند باعث التهاب گردن رحم شوند شامل: کلامیدیا و گنوره آ. هرپس ویروس (هرپس تناسلی) و تریکوموناسیس ممکن است باعث اکتوسرویسیت شوند. HPV هم عامل دیگری است که باعث التهاب گردن رحم می شود. این مطالعه هدف دارد که میزان عفونت با HPV را در نمونه های توموری گردن رحم و التهاب گردن رحم مزمن در جمعیت اصفهان ارزیابی کند.

صد و بیست و دو نمونه بافت فرمالینه جاسازی شده در پارافین (۷۹ نمونه از التهاب گردن رحم و ۴۳ نمونه از تومور گردن رحم) که از نظر تغییرات هیستوپاتولوژیکی آزمایش شده بودند از فایل هیستوپاتولوژی بیمارستان الزهرا در اصفهان جمع آوری شدند. بلوک ها برش داده شدند و ۱۰ قطعه با ضخامت ۴ میکرومتر جمع آوری شدند. نمونه ها توسط گزینلن پارافین زدایی شدند و سپس DNA ویروس توسط فنل / کلروفرم / ایزوآمیل الکل استخراج شد. پلت تشکیل شده خشک شد و دوباره در آب دوبار تقطیر یا محلول TE بعد از رسوب با اتانول حل شد. DNA های استخراج شده در معرض PCR آشیانه ای با استفاده از پرایمرهای جامع MY09/MY11 و GP5+/GP6+ راکد می کند، طراحی شده اند قرار گرفتند. اطلاعاتی که در مورد تغییرات هیستوپاتولوژیکی جمع آوری شده بود بوسیله مقاطع رنگ آمیزی شده با اثوزین و هماتوکسیلین دوباره مورد آزمایش قرار گرفت. بعد از PCR آشیانه ای $1\mu\text{L}$ از محصول PCR راند دوم درzel آگارز $\frac{1}{2}\%$ حاوی اتیدیوم بر ماید لود می شود و الکتروفورز می شود. در بررسی های آماری نرم افزارهای

استفاده شد. ۴ مخصوص PCR به صورت تصادفی از ۲ گروه مورد بررسی انتخاب و برای تعیین توالی نوکلئوتیدی به شرکت GeneService فرستاده شد. ردیف کردن توالی‌های متعدد با استفاده Clustal W در نرم-افزار MEGA انجام شد. شماره دسترسی‌های (GQ179958)، (GQ179959)، (GQ452049) و (GQ452050) در بانک ژن ثبت گردید.

در تحقیق حاضر نیز دو نمونه SCC با تشخیص پاتولوژی مورد آزمایش قرار گرفت و آن‌ودهی به HPV مشاهده نشد. البته به دلیل آن‌که تعداد نمونه SCC کم بود نمی‌توان نتیجه‌گیری کرد که آیا HPV در این تومور نقش داشته یا نداشته است ولی می‌توان نتیجه گرفت که میزان کمتر است. هم‌چنین ۲۱ نمونه Adenocarcinoma و ۲۰ CIN نمونه مورد آزمایش قرار گرفتند و ۲۳/۸٪ از Adenocarcinoma‌ها و ۴۰٪ از CIN‌ها آن‌وده به HPV بودند که این نتایج نسبت به آنچه در گزارشات دیگر محققین آمده میزان شیوع کمتری را نشان می‌دهد که می‌تواند ناشی از دخیل بودن عوامل خطر دیگر در کشورهای دیگر باشد که بعضاً در جمعیت ایران ناشناخته است. در تحقیق حاضر میزان شیوع در نمونه‌های التهاب گردن رحم ۹۸/۷٪ به دست آمد که این مغایرت می‌تواند ناشی از دخیل بودن یک سری عوامل دیگر در ایران باشد که هنوز ناشناخته‌اند.

کلمات کلیدی: HPV، التهاب گردن رحم، تومور گردن رحم، رحم، PCR آشیانه‌ای

فهرست مطالب

عنوان	صفحه
فصل اول: مقدمه	
۱-۱- مقدمه	۱
۱-۲- آناتومی گردن رحم	۴
۱-۲-۱- گردن رحم	۴
۱-۳- ویروس‌شناسی پایه	۶
۱-۳-۱- خصوصیات فیزیکوشیمیابی ویروس‌های خانواده پاپیلوماویریده	۷
۱-۳-۲- پاپیلوما ویروس انسانی	۸
۱-۳-۳- طبقه بندی پاپیلوما ویروس‌ها	۹
۱-۴- ژنوم HPV	۱۳
۱-۵- آنکوپروتئین‌های HPV	۱۴
۱-۶- چرخه سلولی HPV : HPV	۲۰
۱-۶-۱- اتصال ویروس به سطح سلول میزبان :	۲۰
۱-۶-۲- ورود ویروس به داخل سلول میزبان :	۲۰
۱-۶-۳- نگهداری ژنوم	۲۱
۱-۶-۴- مرحله‌ی تکثیر	۲۱
۱-۶-۵- سنتز ویروس	۲۴
۱-۶-۶- خروج ویروس	۲۴
۱-۷- اپیدمیولوژی	۲۶
۱-۸- ظهور کلینیکی عفونت‌های منتقل شده از طریق جنسی	۲۹
۱-۹- بیماری‌زایی	۳۰
۱-۱۰- تشخیص	۲۲
۱-۱۰-۱- سیتوالوژی متداول	۳۳
۱-۱۰-۲- هیستوپاتولوژی	۳۴
۱-۱۱- درمان	۳۵
۱-۱۲- پیشگیری	۳۸
۱-۱۳- التهاب گردن رحم	۳۹
۱-۱۳-۱- عوامل	۴۰

صفحة	عنوان
٤١	٢-١٣-١- خطرها
٤١	٣-١٣-١- علائم
٤٢	٤-١٣-١- آزمایش‌های بالینی و آزمایشگاهی
٤٢	١-٤-١٣-١- آزمایش‌های آزمایشگاهی
٤٢	٥-١٣-١- درمان
٤٣	٦-١٣-١- پیشگیری
٤٣	١٤-١- شناسایی DNA ویروس HPV
٤٣	١-١٤-١- PCR خاص تیپ:
٤٣	٢-١٤-١- پرایمرهای عمومی PCR
٤٥	٣-١٤-١- هیبریداسیون مایع:
٤٧	٤-١٤-١- شناسایی mRNA HPV
٤٧	١٥-١- تذکرات آخر و دستور و مسیر آینده
٤٨	اهداف تحقیق

فصل دوم: مواد و روش‌ها

٤٩	۲-۱- مواد و وسایل به کار رفته
٤٩	۲-۱-۱- وسایل مورد استفاده
٥٠	۲-۱-۲- وسایل پلاستیکی :
٥٠	۲-۱-۳- مواد به کار رفته
٥١	۲-۲- مواد مورد استفاده برای انجام PCR
٥١	۲-۱-۲- محلول‌ها و بافرهای مورد استفاده برای PCR
٥٢	۲-۲-۲- پرایمرها
٥٢	۲-۳-۲- مشخص کننده سایز DNA
٥٣	۴-۲- روش تهیه‌ی محلول‌ها :
٥٣	۴-۱-۴-۲- طرز تهیه‌ی EDTA
٥٣	۴-۲-۲- طرز تهیه‌ی Tris-Base
٥٤	۴-۳-۴-۲- محلول TBE :
٥٤	۴-۴-۲- محلول Tris-Base- EDTA (TE)

صفحه	عنوان
۵۴	۲-۴-۵- روشن تهیه‌ی محلول اتیدیوم بروماید
۵۵	۲-۴-۶- تهیه‌ی محلول بافر لیزکننده
۵۵	۲-۴-۷- پروتئیناز K
۵۵	۲-۴-۸- تهیه‌ی محلول فنل کلروفرم ایزوآمیل الکل (PCI)
۵۵	۲-۵-۱- روش کار
۵۵	۲-۵-۱- برش و آماده سازی بافت‌ها
۵۶	۲-۵-۲- روش استخراج DNA از بلوک‌های پارافینی
۵۶	۲-۵-۲- زدودن پارافین از بافت‌ها
۵۷	۲-۵-۲-۲- استخراج DNA با فنل- کلروفرم
۵۸	۲-۵-۲-۳- استخراج DNA بدون استفاده از فنل کلروفرم
۵۹	۲-۶- تعیین خلوص DNA استخراج شده، جذب DNA استخراج شده
۵۹	۲-۷- رقیق کردن پرایمرها
۶۰	۲-۸- انجام Nested-PCR برای مارکرهای موردنظر
۶۰	۲-۸-۱- غلظت مواد مورد استفاده در PCR اولی و دومی
۶۱	۲-۸-۲- برنامه‌ی Nested-PCR
۶۲	۲-۹- برسی محصول PCR
۶۳	۲-۹-۱- تهیه ژل آگارز
۶۳	۲-۹-۲- انتقال محصول PCR به ژل
۶۴	۲-۱۰-۱- استخراج DNA از ژل
۶۴	۲-۱۰-۱-۱- مواد لازم برای خالص سازی نمونه‌های DNA از ژل
۶۴	۲-۱۰-۱-۱-۱- طرز تهیه بافر شستشو
۶۵	۲-۱۰-۲- روش استخراج و خالص‌سازی DNA از ژل
۶۶	۲-۱۱- تعیین توالی نوکلئوتیدی
۶۶	۲-۱۲- تجزیه و تحلیل آماری

صفحه	عنوان
	فصل سوم: نتایج
۶۷	۳-۱- مشخصات و اطلاعات مربوط به نمونه‌ها
۷۴	۳-۲- نتایج بررسی پاتولوژیکی نمونه‌ها
۷۴	۳-۲-۱- نتایج مشاهدات پاتولوژی
۷۴	۳-۲-۲- نتایج آزمایش نمونه‌های نئوپلاسم بدخیم
۷۴	۳-۲-۲-۱- نتایج آزمایش نمونه‌های CIN
۷۵	۳-۲-۲-۲- نتایج آزمایش در نمونه‌های آدنوکارسینوما
۷۶	۳-۲-۲-۳- نتایج آزمایش در نمونه‌های کارسینومای سلول‌های سنگفرشی
۷۷	۳-۲-۳- نتایج آزمایش در نمونه‌های بدون بدخیمی
۷۸	۳-۳- نتایج مراحل مختلف آماده‌سازی بافت
۷۹	۳-۴- نتایج حاصل از استخراج DNA
۸۰	۳-۵- نتایج Nested - PCR با پرایمرهای جامع My11 / My09 و پرایمرهای راند دوم GP5+/GP6+
۸۰	۳-۵-۱- تهیه کنترل مثبت PCR
۸۱	۳-۵-۲- نتایج Nested - PCR نمونه‌های انتخاب شده
۸۵	۳-۶- نتایج حاصل از تعیین توالی و آنالیز توالی‌های نوکلئوتیدی
	فصل چهارم: بحث و نتیجه‌گیری
۹۲	۴-۱- بررسی روش استخراج DNA
۹۴	۴-۲- بررسی حساسیت پرایمرها
۹۵	۴-۳- ارتباط بین عفونت HPV و گسترش تومور
۹۷	۴-۴- نتیجه گیری کلی
۹۸	۴-۵- پیشنهادات
۹۹	پیوست
۱۱۴	منابع و مأخذ

فهرست شکل ها

عنوان	
صفحه	
۶	شکل ۱-۱) اجزای مختلف دستگاه تناسلی زنان
۹	شکل ۲-۱) ساختار نوکلئوکپسید پاپیلوماویروس انسانی که از ۷۲ کپسوم تشکیل شده است
۱۲	شکل ۳-۱) درخت فیلوژنیک پاپیلوماویروس بر اساس شباهت نوکلئوتیدی قسمتی از ناحیه L1
۱۴	شکل ۴-۱) نقشه ژنوم HPV که شامل ۸ عدد ژن غیر ساختاری و ۲ عدد ژن ساختاری است
۱۶	شکل ۵-۱) ژن های E6 و HPV E7 پروتئین های چند عملکردی کد می کنند که بطور اولیه به پروتئین های سلولی p53 و pRB باند می شوند، عملکردشان را قطع می کند و راههای تنظیم سیکل سلولی را تغییر می دهند و منجر به ترانسفورمیشن سلولی می شود
۱۷	شکل ۶-۱) مکانیسم عمل پروتئین E7 پاپیلوما ویروس که با اتصال به RB باعث آزاد شدن E2F می شود
۱۸	شکل ۷-۱) اتصال کمپلکس E6-ULb به p53 و تخریب آن و در نتیجه مهار آپوپتوزیز
۱۹	شکل ۸-۱) دگرگون شدن سلول ها توسط پاپیلوما ویروس های تیپ ۱۶ و ۱۸
۲۰	شکل ۹-۱) چرخه سلولی 16 HPV
۲۳	شکل ۱۰-۱) مراحل مختلف تمایز سلول آلوده و بیان پروتئین های ویروسی در هر مرحله
۲۵	شکل ۱۱-۱) تشخیص عفونت HPV با توجه به علائم هیستوپاتولوژی
۳۴	شکل ۱۲-۱) آزمایش پاپ اسمیر با سلولهای سنگفرشی غیر نرمال تحت تاثیر HPV
۳۹	شکل ۱۳-۱) مونتاژ پارتیکل های شبه ویروسی HPV
۳۹	شکل ۱۴-۱) نمای سیتولوژی از التهاب گردنه رحم (سرمایت)
۴۵	شکل ۱۵-۱) ژنوم HPV و مکان های اثر ست های پرایمری MY و GP+
۵۳	شکل ۱-۲) مارکر 100 bp (Fermentas Germany)
۷۴	شکل ۱-۳) درجات مختلف CIN
۷۶	شکل ۲-۳) نمای هیستوپاتولوژیک آدنوکارسینوما بافت سرویکس با بزرگ نمایی ۱۰
۷۷	شکل ۳-۳) سلول های اپی تلیوم سنگفرشی آلوده به HPV DNA
۷۸	شکل ۴-۳) ارتضاح تعدادی سلول التهابی مزمن از نوع لنفوسيت در بافت همبندی. بافت پوششی اندوسرویکس دارای متاپلازی و تبدیل به بافت پوششی سنگفرشی و فاقد علائم بد خیمی است. تصویر میکروسکوپی سمت راست با بزرگ نمایی ۱۰ مربوط به نمونه سرویسیت شماره ۱۰۹۹،۳ و تصویر میکروسکوپی سمت چپ با بزرگ نمایی ۱۰ مربوط به نمونه سرویسیت شماره ۳۶۷۴،۳ می باشد

عنوان

صفحه

شکل ۳-۵) ژل الکتروفورز DNA استخراج شده از دو روش پارافین زدایی. روش A: دمای انکوباسیون ۵۹ درجه سانتی گراد و مدت زمان ۱۵ دقیقه و سه بار تکرار. روش B: دما ۵۵ درجه و مدت زمان ۱۰ دقیقه و سه بار تکرار.....	۷۹
شکل ۳-۶) نتایج خالص سازی DNA.....	۸۰
شکل ۳-۷) نمونه های PCR شده برای تهیه کنترل مثبت.....	۸۱
شکل ۳-۸) تصاویر میکروسکوپی ردیف بالا با بزرگنمایی ۱۰ مربوط به نمونه شماره ۴۸۵۰،۲ میباشد که شکل A آن مربوط به ناحیه بدخیمی باضایعه Adenocarcinoma است و شکل های B و C به ترتیب مربوط به اپی تلیوم غددی و اپی تلیوم فلسی و فاقد بدخیمی می باشد.....	۸۳
شکل ۳-۹) نتایج حاصل از PCR بر روی نمونه های بدخیمی.....	۸۴
شکل ۳-۱۰) نتایج حاصل از PCR بر روی نمونه های سرویسیت.....	۸۵
شکل ۳-۱۱) توالی نوکلئوتیدی شماره های دسترسی (GQ179959)، EL2، (GQ179958)، EL1، (GQ179958) و M3-MF، (GQ452050) و M49-MF، (GQ452049).....	۸۶
شکل ۳-۱۲) ردیف شدن توالی ها با شماره های دسترسی (GQ179958)، EL2-RL2، EL1-RL1، (GQ179958) و M49-MF، (GQ452050)، M3-MF، (GQ452049) و HPV ۶JAN، (EU911303).....	۹۲

فهرست جدول ها

عنوان	
صفحه	
جدول ۱-۱) نوع HPV و بیماری‌های مربوطه	۳
جدول ۱-۲) نام پرایمیرها و توالی آن‌ها	۵۲
جدول ۲-۱) غلظت مواد مورد استفاده در PCR راند اول با پرایمیرهای MY09/MY11 (پرایمیرهای جامع)	۶۰
جدول ۲-۲) غلظت مواد مورد استفاده در PCR دور دوم با پرایمیرهای GP5+,GP6+	۶۱
جدول ۲-۳) برنامه PCR برای پرایمیرهای MY09/MY11 (پرایمیرهای جامع) و پرایمیرهای GP5+/GP6+ به ترتیب	۶۲
جدول ۳-۱) مشخصات مربوط به سن، و تشخیص اولیه بیماران در نمونه‌های توموری	۶۸
جدول ۳-۲) مشخصات مربوط به سن، و تشخیص اولیه بیماران در نمونه‌های سرویسیت	۷۰
جدول ۳-۳) نمونه‌های توموری و سرویسیت و نتایج حاصل از PCR	۸۲
جدول ۴-۱) فراوانی HPV در نمونه‌های توموری و التهاب‌های گردن رحم	۸۲
جدول ۴-۲) میزان باند در نمونه‌هایی که یک بلوک دارای بدخیمی و یک بلوک فاقد بدخیمی بودند	۸۳
جدول ۴-۳) مقایسه توالی نوکلئوتیدی ۴ جدایی HPV به دست آمده از افراد سرطان گردن رحم و التهاب گردن رحم. Sequence 1 (EL1-R (GQ799958)، Sequence 2 (EL2-R (GQ799959)	۸۷
جدول ۴-۴) میزان تشابه توالی نوکلئوتیدی ایزوله‌های مختلف HPV با توالی نوکلئوتیدی نمونه شماره EMBL (EL1, GQ179958)	۸۸
جدول ۴-۵) میزان تشابه توالی نوکلئوتیدی ایزوله‌های مختلف HPV با توالی نوکلئوتیدی نمونه شماره EMBL (EL2, GQ179959)	۸۹
جدول ۴-۶) میزان تشابه توالی نوکلئوتیدی ایزوله‌های مختلف HPV با توالی نوکلئوتیدی نمونه شماره EMBL (M3-MF, (GQ452049)	۹۰
جدول ۴-۷) میزان تشابه توالی نوکلئوتیدی ایزوله‌های مختلف WU-BLAST2 در محیط EMBL (WU-BLAST2 (GQ452050)	۹۱

فصل اول

مقدمه

۱-۱ - مقدمه

ویروس پاپیلومای انسانی (HPV) یکی از معمول‌ترین موارد بیماری‌هایی است که در زنان و مردان جهان از راه روابط جنسی منتقل می‌شود (Burd et al., 2003). پاپیلوما ویروس‌ها در همه جا هستند و همانند انسان واریته‌های زیادی از آن در میزبان‌های مختلف به صورت اختصاصی وجود دارند. بیش از ۲۰۰ نوع HPV بر پایه اطلاعات توالی DNA آنها شناسایی شده‌اند که نشان دهنده تفاوت ژنومی است. هشتاد و پنج ژنتوتایپ از HPV به خوبی شناسایی شده‌اند، بعلاوه ۱۲۰ جدایه به عنوان ژنتوتایپ‌های جدید شناسایی شده‌اند (Burd et al., 2003).

ویروس‌های پاپیلومای انسانی می‌توانند بافت پوششی پایه‌ای پوست یا لایه‌های داخل بافتی را آلوده کنند که بر این اساس به انواع پوستی^۱ و مخاطی^۲ طبقه بندی شده‌اند. انواع پوستی، اپiderم دوست هستند (اپiderموتروفیک) و پوست دست‌ها و پاهای را مورد هدف قرار میدهند و انواع مخاطی مخاط دهان، گلو، مجاری تنفسی یا بافت پوششی دستگاه تناسلی را آلوده می‌کنند (Burd et al., 2003; Cricca et al., 2004; Remmerbach et al., 2004).

بر اساس ارتباط شان با سرطان گردن رحم^۳ و جراحات قبل از آن HPV‌ها به انواع پر خطر و کم خطر نیز طبقه بندی شده‌اند. انواع HPV‌های کم خطر شامل تیپ‌های ۶، ۱۱، ۴۲، ۴۳ و ۴۴ هستند و انواع پر خطر شامل تیپ‌های ۱۶، ۱۸، ۳۱، ۳۳، ۳۴، ۳۵، ۳۹، ۴۵، ۵۱، ۵۲، ۵۶، ۵۸، ۶۶ و ۷۰ هستند (Burd et al., 2003; Motoyama et al., 2004; Mahdavi et al., 2005).

گروه پر خطر تعدادی از انواع HPV که کمتر بطور مکرر در سرطان پیدا می‌شوند و اغلب در جراحات اینتراپیتیلیال سنگفرشی^۴ دیده می‌شوند را در بر می‌گیرد (جدول ۱). تعدادی از محققین این نوع HPV‌ها را با خطر متوسط معرفی می‌کنند (Burd et al., 2003). ساب تایپ‌های کم خطر گه‌گاه در سرطان‌های رحم پیدا شده‌اند. اغلب عفونت‌های HPV خوش خیم هستند. HPV در ابتدا به عنوان عامل زگیل‌های پوستی^۵ در دست و پا شناسایی شدند (زگیل‌های مسطح^۶، زگیل‌های معمولی^۷، زگیل‌های کف پا^۸). زگیل‌ها نواحی از پوست هستند که دچار افزایش حجم شده‌اند و میزان کراتین آن‌ها بالا است و به طور معمول در طی ۱ تا ۵ سال از بین می‌روند. تیپ‌هایی که صورت را مورد هدف قرار می‌دهند به احتمال زیاد سرطان پوست ایجاد می‌کنند. دیگر تیپ‌هایی که به طور اولیه در مخاط دهان رشد می‌کنند تولید ندول‌های برآمده کوچک می‌کنند که می‌توانند به طرف سرطان‌های سلولی سنگفرشی مهلك پیشرفت کنند.

-
1. Cutaneous
 - 2 . Mucosal
 - 3 Cervical cancer
 4. Squamous intraepithelial lesions
 5. Cutaneous warts
 6. Flat warts
 7. Common warts
 8. Plantar warts

جدول ۱-۱) نوع HPV و بیماری‌های مربوط به آن‌ها

Disease	HPV type ^b
Plantar warts	1, 2, 4, 63
Common warts	2, 1, 7, 4, 26, 27, 29, 41, 57, 65, 77, 1, 3, 4, 10, 28
Flat warts	3, 10, 26, 27, 28, 38, 41, 49, 75, 76
Other cutaneous lesions (e.g., epidermoid cysts, laryngeal carcinoma)	6, 11, 16, 30, 33, 36, 37, 38, 41, 48, 60, 72, 73
Epidermodysplasia verruciformis	2, 3, 10, 5, 8, 9, 12, 14, 15, 17, 19, 20, 21, 22, 23, 24, 25, 36, 37, 38, 47, 50
Recurrent respiratory papillomatosis	6, 11
Focal epithelial hyperplasia of Heck	13, 32
Conjunctival papillomas/carcinomas	6, 11, 16
Condyloma acuminata (genital warts)	6, 11, 30, 42, 43, 45, 51, 54, 55, 70
Cervical intraepithelial neoplasia	
Unspecified	30, 34, 39, 40, 53, 57, 59, 61, 62, 64, 66, 67, 68, 69
Low risk	6, 11, 16, 18, 31, 33, 35, 42, 43, 44, 45, 51, 52, 74
High risk	16, 18, 6, 11, 31, 34, 33, 35, 39, 42, 44, 45, 51, 52, 56, 58, 66
Cervical carcinoma	16, 18, 31, 45, 33, 35, 39, 51, 52, 56, 58, 66, 68, 70

هایپرپلازی بافت پوششی کانوئی حفره دهان^۱ (بیماری Heck's) به طور غالب توسط HPV-13 ایجاد می‌شود و به عود خود به خودی گرایش دارد (Burd et al., 2003).^۲ یک بیماری نادر ژنتیکی است که در آن زگیل‌های همراه با HPV در روی بالا تنہ دیده می‌شود و بالاترین درجه آن در نهایت پیشرفت به سوی کارسینومای سلول‌های سنگفرشی مهاجم، پاپیلوماهای ورم ملتحمه چشم و یا کارسینوماهای همراه با HPV است. پاپیلوماتوزیس تنفسی عود کننده^۳ در ابتدا یک بیماری گلو در کودکان تا ۳ سال است اما می‌تواند در بالغین نیز ایجاد شود. به خاطر اینکه درصد بالایی از مادران پیشینه‌ای از آنودگی با HPV دارند و به این دلیل که تیپ‌های مشابه هم تولید زگیل‌های دستگاه تناسلی وهم پاپیلوماتوزیس تنفسی عود کننده می‌کنند، به نظر می‌رسد عفونت در کودکان بواسیله گذر از کانال زایمان ایجاد شده باشد. زخم‌های مجرای تنفسی ممکن است دستخوش دگرگونی بدخیم^۴ شوند. در آمریکا سرطان رحم در رده سوم بعد از سرطان پوست و سرطان سینه قرار دارد. در کشورهای در حال پیشرفت، سرطان رحم اغلب بیشترین موارد سرطان در زنان را شامل می‌شود و ممکن است درصد از همه سرطان‌های زنان را در بر بگیرد. سرطان رحم بر سرطان سینه به عنوان بیشترین عامل مرگ و میر ناشی از

1. Focal epithelial hyperplasia of the oral cavity

2. Recurrent respiratory papillomatosis

3. Malignant transformation

سرطان در زنان جهان، مقدم شده است. ارتباط بین عفونت تناسلی HPV و سرطان رحم ابتدا در اوایل ۱۹۸۰ بوسیله هارلود زور هاوسن که یک ویروس شناس آلمانی بود مشخص شد. در حال حاضر هم ارتباط بین HPV و کارسینومای سلول‌های سنگفرشی رحم^۱ به خوبی اثبات شده است. ارتباط HPV و کارسینومای سلول‌های سنگفرشی رحم نسبت به رابطه سیگار و سرطان ریه بیشتر است (Burd et al., 2003). دانشمندان در حدود ۳۰ نوع HPV را شناسایی کرده‌اند که از طریق ارتباط جنسی منتشر می‌شوند و به‌طور اولیه رحم، واژن، دستگاه تناسلی خارجی و مخرج را آلوده می‌کنند که از این چهار قسمت بیشتر سلول‌های بد خیم در رحم گزارش شده است و همچنین در اروپا و آمریکا تیپ ۱۶ در نیمی از موارد وجود داشته در حالی که تیپ‌های ۱۸، ۳۱، ۴۵، ۲۵، ۳۵ تا ۳۵ درصد موارد را شامل می‌شوند (Burd et al., 2003; Gheit et al., 2009; Motoyama et al., 2004). درصد HPV در ۹۹/۷ درصد از سرطان‌های سلول‌های سنگفرشی رحم در جهان یافته شده است. آدنوکارسینومای رحم^۲ نیز با HPV ارتباط دارد، اما این ارتباط کمتر بیان شده و وابسته به سن می‌باشد. در زنان کمتر از ۴۰ سال، HPV در ۸۹٪ از آدنوکارسینوماها وجود دارد در حالیکه در زنان در سن ۶۰ سال و پیرتر، HPV تنها در ۴۳٪ از موارد مشاهده شده است (Burd et al., 2003; Mahdavi et al., 2005).

۱-۲-۱- آناتومی گردن رحم

رحم یک عضو فیری-عضلانی است و معمولاً به گردن رحم در پائین و تنہ رحم در بالا تقسیم می‌شود (امیرخانی، ژ. ۱۳۷۳)

۱-۲-۱- گردن رحم

سرویکس در لاتین به معنای گردن رحم است و قسمت باریک و دمی رحم را تشکیل می‌دهد. راس آن در جهت پائین و پشت قرار دارد. اندازه آن در بالغین که حامله نشده‌اند ۳-۵/۲ سانتی‌متر بوده و مجاور قسمت تحتانی جسم رحم است (امیرخانی، ژ. ۱۳۷۳).

1. Cervical squamous cell carcinoma
2. Adenocarcinoma

قسمتی از گردن رحم که در وازن دیده می‌شود اگزوسروویکس^۱ یا قسمت واژینال نام دارد. اگزوسروویکس دارای سطح محدب و گرد با منفذی حلقوی یا شکاف مانند (منفذ خارجی) به داخل مجرای اندوسروویکس^۲ است. مجرای اندوسروویکس طولی در حدود ۳-۲ سانتی‌متر دارد و از طرف پروگریمال^۳ در منفذ داخلی به حفره انdometer باز می‌شود. مخاط گردن رحم، عموماً دارای هر دو نوع بافت پوششی مطبق سنگفرشی (مشخصه اگزوسروویکس) و بافت پوششی استوانه‌ای ترشح‌کننده مخاط (مشخصه مجرای اندوسروویکس) است. با وجود این، حد فاصل بین این دو بافت پوششی (محل اتصال سلول‌های پوششی سنگفرشی به استوانه‌ای که SCJ^۰ نامیده می‌شود) از نظر موقعیت متغیر است و به وضعیت تحریک هورمونی بستگی دارد. این حد فاصل نسبت به پیدایش نشوپلازی سنگفرشی بیشترین آسیب پذیری را دارد (قره‌باغی، م. پ. ۱۳۷۶) (شکل ۱-۱).

-
1. Exocervix
 2. Endocervix canal
 3. Proximal
 4. Endometrium
 5. Squamous columnar junction